

بررسی سینماتیک و دینامیک جریان آرام نوسانی حول استوانه

محمدسعید سعیدی* و محسن ثقفیان**

دانشکده مهندسی مکانیک، دانشگاه صنعتی اصفهان

(دریافت مقاله: ۷۹/۷/۱۶ - دریافت نسخه نهایی ۸۰/۴/۵)

چکیده - در این مقاله جریان نوسانی آرام دو بعدی حول استوانه و نوسان استوانه در سیال ساکن مورد بررسی قرار گرفته است. برای این منظور با استفاده از روش حجم محدود و به کمک الگوریتم سیمپل سی، معادله های نویر استوکس برای جریان آرام نوسانی دو بعدی حول یک استوانه در یک شبکه منطبق بر بدنه از نوع O و هم مکان حل شده است. در این بررسی اعداد بدون بعد کیولگان کارپنتر و استوکس در محدوده ای انتخاب شده اند که متناظر با رژیمهای متنوع جریان آرام است که عموماً سه بعدی هستند. نتایج حاصل از این شبیه سازی و مقایسه با نتایج عددی و تجربی سایرین نشاندهنده قابلیت خوب مدل دو بعدی در معرفی سینماتیک رژیمهای متنوع جریان و ریزش گردابه هاست. در رابطه با نیرو های وارد بر استوانه این بررسی نشان می دهد در حالتی که رژیم جریان منظم است انطباق خوبی بین نیروی طولی حاصل از این محاسبات و نتیجه حاصل از معادله موریسون وجود دارد و در مورد جریانهای نا منظم که از یک سیکل به سیکل دیگر تغییر می کنند این انطباق ضعیفتر شده و دقت معادله موریسون کاهش می یابد. مقایسه ضرایب پسا و اینرسی حاصل از این مدل و کار تجربی و عددی دیگران، انطباق خوبی را نشان می دهد. بررسی تغییرات زمانی نیروی طولی وارد بر استوانه اطلاعات دقیقی در ارتباط با ریزش گردابه ها در هر سیکل و فرکانس ریزش آنها و نحوه تغییر مود ارائه می دهد. به دلیل تغییر پیوسته مود رژیم جریان در طی زمان، متوسط نیروی طولی و عرضی در طی سیکلهای متوالی ملاک خوبی برای برآورد نیروی وارد بر استوانه نیست. در عین حال این مدل به خوبی توانسته تغییرات زمانی نیروی طولی و عرضی یک مود خالص را شبیه سازی و بر نتایج تجربی انطباق دهد.

واژگان کلیدی: جریان نوسانی، جریان آرام حول استوانه، حل عددی

The Study of Kinematics and Dynamics of Oscillating Laminar Flow About a Cylinder

M. S. Saidi and M. Saghafian

Department of Mechanical Engineering, Isfahan University of Technology

ABSTRACT- In this paper, the oscillating two-dimensional laminar flow about a cylinder and the oscillation of a cylinder in still water are studied. A finite volume method is applied to solve the Navier Stokes equations using SIMPLEC algorithm on a body fitted co-located O-type grid. In this study, the non-dimensional flow numbers, Keulegan-Carpenter and Stokes' numbers are chosen over a range where different laminar flow regimes are normally three-dimensional. The results of this simulation and comparison with numerical and experimental works indicate the good capability of this two-dimensional model in showing the various regimes of flow patterns and vortex shedding. Considering the forces exerted on the cylinder, this study shows that in cases where the flow is of a

regular type, there is a good match between longitudinal force presented by this work and the one calculated through Morrison's equation. But for irregular flows where the flow pattern changes in each cycle, there is less overlap and the accuracy of Morrison's equation is reduced. Studying the time variation of the transversal force gives accurate information about the vortex shedding and its frequency in each cycle and mode changing. Since the flow mode changes continuously with time, the average of transversal and longitudinal forces on consecutive cycles is not a good representation of the force exerted on the cylinder. On the other hand, the model has satisfactorily reproduced the time variation of the transversal and longitudinal forces of a pure mode, matching the experimental results.

Keywords: Oscillating flow, Laminar flow about a cylinder, Numerical solution

فهرست علائم

عدد کیولگان کارپنتر	$KC = U_m T / D$	دامنه حرکت استوانه با نوسان سینوسی در سیال ساکن	A
عدد استوکس	$\beta = Re / KC$	ضریب پسا (درگ)	C_D
اندازه اولین حجم معیار چسبیده به استوانه در جهت شعاع	δ	ضریب اینرسی	C_M
اندازه آخرین حجم معیار در جهت شعاع	Δ	ضریب نیروی طولی در جهت محور نوسان	C_x
ضریب انبساط شبکه	ε	ضریب نیروی عرضی عمود بر محور نوسان	C_y
متغیر عمومی	Φ	ضریب نیروی طولی ماکزیمم در یک سیکل	$C_{x_{max}}$
ضریب دیفیوژن ϕ	Γ_ϕ	ضریب نیروی عرضی ماکزیمم در یک سیکل	$C_{y_{max}}$
چگالی سیال	ρ	ضریب نیروی طولی میانگین در یک سیکل	$C_{x_{mean}}$
جمله چشمه	S	ضریب نیروی عرضی میانگین در یک سیکل	$C_{y_{mean}}$
سرعت جریان دور دست	U_∞	قطر استوانه	D
فشار در سیال نوسانی حول استوانه ساکن	P_1	عدد رینولدز	$Re_{max} = Re = U_m D / \nu$
فشار در سیال حول استوانه نوسانی	P_2	زمان	T
مؤلفه X سرعت	u	گام زمانی	δt
مؤلفه Y سرعت	v	پریود نوسان	$T = 1/f$
نیروی طولی وارد بر استوانه	F_x	سرعت جریان دور دست	$U = U_m \sin(2\pi t/T)$
نیروی عرضی وارد بر استوانه	F_y	سرعت ماکزیمم نوسان	U_m

۱- مقدمه

نسبت به استوانه به طوری که امتداد حرکت عمود بر محور استوانه باشد توجه شده است. این حرکت خود به نوعی حرکت امواج دریا اطراف پایه ها، سکوها و اسکله ها در نواحی زیر سطح آزاد را پوشش می دهد. بسته به اینکه طول مشخصه جسم در امتداد حرکت جریان اصلی نسبت به طول موج حرکت کوچک یا بزرگ باشد نیروهای غالب از نوع برشی و یا اینرسی خواهند بود، که در مورد اول تحلیل جریان منوط به حل معادله های نویر استوکس و در مورد دوم به حل مسئله پراش امواج منجر می شود.

در این مقاله فرض شده که طول مشخصه جسم نسبت به طول موج کوچک باشد. اعداد مشخصه چنین جریانی عدد

استوانه به عنوان یک عنصر اصلی در ساختار سازه بسیاری از تجهیزاتی است که با حرکت سیال سرو کار دارند. به طور نمونه می توان پایه اسکله ها و سکوها دریایی، پایه و مهار پلها، دودکشها و لوله های یک مبدل گرمایی را نام برد. به همین دلیل جریان سیال اطراف استوانه از دیرباز مورد توجه محققان علم مکانیک سیالات بوده است. برحسب ساکن یا متحرک بودن استوانه و یا سیال اطراف، نوع حرکت، امتداد جریان نسبت به محور استوانه و بالاخره اینکه جریان دارای سطح آزاد باشد یا نباشد هندسه های متنوعی از جریان اطراف یک استوانه می تواند مطرح شود. در این مقاله تنها به حرکت نوسانی سیال

منجر به معادله تحلیلی زیر برای C_D و C_M بر حسب β و KC شده است .

$$C_D = 3\pi^2 / 2KC [(\pi\beta)^{-1/2} + (\pi\beta)^{-1} - 1/4(\pi\beta)^{-3/2} + \dots] \quad (2)$$

$$C_M = 2 + 4(\pi\beta)^{-1/2} + (\pi\beta)^{-3/2} + \dots \quad (3)$$

از نمونه کارهای تجربی می توان به کارهای کیولگان و کارپتر [۴]، هونجی [۵]، اوباساجو و همکاران [۶]، تاتسونو و بیرمن [۷]، سارپکایا [۸] و ویلیامسون [۹] اشاره کرد و در مورد کارهای عددی می توان به مقالات جوستیسین [۱۰]، بدر و همکاران [۱۱]، دوچ و همکاران [۱۲]، لوو و همکاران [۱۳] و نهایتاً ژنگ و دالتون [۱۴] اشاره کرد.

هونجی [۵] طی آزمایشاتی شکل جریان ناشی از نوسان استوانه را در محدوده $4 < KC < 700$ و $70 < \beta < 700$ بررسی کرد. وی نشان داد که برای KC های کوچک، جریان آرام و دوبعدی باقی می ماند و برای KC های متوسط جریان ناپایدار شده و با شکل گیری گردابه های قارچی شکل در طول محور استوانه جریان سه بعدی و برای KC های بزرگتر جریان مغشوش می شود. اگر KC از یک حد بحرانی KC_{cr} کوچکتر باشد جریان پایدار است و ریزش گردابه نداریم که اصطلاحاً "رژیم استوکس - ونگ نامیده می شود. با افزایش KC جریان ناپایدار شده و ریزش گردابه آغاز می شود که ناپایداری هونجی نامیده می شود. هال [۱۵] به صورت تحلیلی نشان داد که برای $\beta \gg 1$ می توان KC_{cr} را از معادله زیر به دست آورد.

$$KC_{cr} = 5.778\beta^{-1/4} (1 + 0.205\beta^{-1/4} + \dots) \quad (4)$$

افزایش KC منجر به جریانهایی با شکلهای متنوع می شود که شش نوع از آن توسط هونجی شناسایی شد.

سارپکایا [۸] حرکت نوسانی یک استوانه را در محدوده $0.4 < KC < 20$ و β مساوی ۱۳۵۰، ۱۳۸۰، ۱۸۰۰ و ۱۲۰۰ به روش تجربی بررسی کرد و ضرایب C_D و C_M را بر حسب KC به دست آورد و به علاوه ناپایداری هونجی را با انجام آزمایشات تایید کرد. همچنین نشان داد که فرمول پیشنهادی هال [۱۵]، مقادیر KC_{cr} را برای β های بزرگ به خوبی پیش بینی می کند.

رینولدز $Re = \frac{U_m D}{\nu}$ و عدد کیولگان کارپتر $KC = \frac{U_m T}{D}$

هستند. از ترکیب این دو عدد استوکس $\beta = \frac{Re}{KC} = \frac{D^2}{\nu T}$

تعریف شده است و معمولاً KC و β یا KC و Re برای مشخص کردن جریان به کار می روند. برای استوانه با حرکت نوسانی سینوسی در سیال ساکن $KC = \frac{2\pi A}{D}$ تعریف می شود. حضور عدد KC به عنوان یک عدد مشخصه جریان بیانگر این واقعیت است که در این جریانها نوع رژیم، آرام یا مغشوش، تنها توسط عدد Re تعیین نمی شود بلکه بر حسب اینکه عدد KC چقدر باشد گذار از آرام به مغشوش و یا ناپایدار شدن جریان آرام دو بعدی و تبدیل آن به یک جریان آرام سه بعدی در رینولدزهای متفاوتی صورت می گیرد.

تحقیقات گسترده ای روی این جریان صورت گرفته است که کارهای قدیمی عمدتاً از نوع تجربی و کارهای دو دهه اخیر همراه با رشد رایانه ها توأم با روشهای عددی بوده است. از کارهای شاخص قدیمی می توان به کار موریسون و همکاران [۱] اشاره کرد که طی آن معادله معروف خود را برای محاسبه نیروی طولی وارده از امواج دریا بر پایه های استوانه ای شکل سازه های دریایی و هوایی ارائه دادند. این معادله بر این فرض استوار است که نیروی طولی F_x جمع نیروی پسا و نیروی مجازی (اینرسی) است:

$$F_x = 1/2 \rho D C_D U |U| + 1/4 \pi \rho D^2 C_M \frac{dU}{dt} \quad (1)$$

C_M و C_D ضرایب پسا و اینرسی اند که در طی یک سیکل ثابت فرض می شوند. در ادامه خواهیم دید که در بعضی حالات جریان، این فرض درست نیست. محاسبه ضرایب C_D و C_M با داشتن F_x از نتایج آزمایش و یا محاسبات عددی، با به کار گیری روش مینیمم مربعات یا میانگیری فوریه محاسبه می شوند.

در رابطه با روشهای تحلیلی مطالعات نظری استوکس [۲] و سپس ونگ [۳] قابل اشاره است که با فرض جریان چسبیده^۱ و برای اعداد KC کوچک و اعداد Re یا β بزرگ معتبر است و

رژیم E - ($8 > KC > 4, \beta < 20$) - تغییر نامنظم امتداد حرکت گردابه ها - سه بعدی

رژیم F - ($KC > 7, \beta < 50$) - جابه جایی قطری گردابه ها سه بعدی

رژیم G - ($KC > 7, \beta < 30$) - قطار عرضی گردابه ها سه بعدی

جوستیسین [۱۰] این مسئله را با هر دو روش تجربی و عددی بررسی کرده است. وی معادله انتقال ورتیستی همراه با تابع جریان را برای رژیم آرام و دوبعدی به روش تفاضل متناهی برای $KC < 26$ و β مساوی ۱۹۶، ۹۸۳ و ۱۰۳۵ حل کرده است. مقایسه شکل خطوط جریان حاصل از شبیه سازی عددی با نتایج تجربی برای حالاتی که جریان متقارن است انطباق خوبی را نشان می دهد. به علاوه شکل خطوط جریان و ورتیستی برای حالاتی که ریزش گردابه ها نامتقارن است آورده شده و انطباق آن با رژیمهایی که قبلاً معرفی شده اند نشان داده شده است. همچنین ضرایب C_D و C_M محاسبه و با کار دیگران مقایسه شده است. تغییرات زمانی C_x و C_y نیز بدون مقایسه آورده شده است. در این محاسبات از شبکه O شکل و با تعداد گره 80×128 با شعاع قلمرو 80R استفاده شده است.

بدر و همکاران [۱۱] شبیه سازی عددی را با روش حجم محدود و به کارگیری ψ, ω برای رژیم آرام و دوبعدی انجام داده اند. محاسبات برای $Re = 10^3, 10^4$ و $KC = 24$ انجام شده است که به ریزش متقارن گردابه ها محدود می شود. در این مقاله شکل خطوط جریان و مقادیر C_D برحسب زمان آورده شده و برای بعضی از حالات مقایسه شکل خطوط جریان با نتایج تجربی و عددی جوستیسین [۱۰] صورت گرفته است.

دوچ [۱۲] مسئله استوانه نوسانی در جریان ساکن را با یک انتقال به جریان نوسانی حول استوانه ساکن تبدیل و نتیجه را با روش حجم محدود و به کارگیری u و v در دو بعد حل کرده است. شبکه نوع O با تعداد گره 192×128 و گام زمانی

ویلیامسون [۹] طی آزمایشاتی در لوله U جریان نوسانی حول استوانه را در محدوده وسیعی از KC بررسی کرد. وی توانست جریان عرضی را که طی آن در هر نیم سیکل یک جفت گردابه تحت زاویه ۴۵ درجه نسبت به محور نوسان جریان حرکت کرده و از استوانه دور شده و همگی در یک طرف استوانه قرار می گیرند را به ازای $7 < KC < 15$ به وجود آورد. همچنین جریانهای جفت دوتایی ($15 < KC < 24$) و جفت سه تایی ($24 < KC < 32$) و جفت چهار تایی ($32 < KC < 40$) که طی آن در هر نیم سیکل به ترتیب دو، سه و چهار جفت گردابه ایجاد و ریزش می شوند به وجود آورد.

اوباساجو و همکاران [۶] مسئله جریان نوسانی حول استوانه ثابت را با جزییات بیشتری در آزمایشگاه مورد مطالعه قرار دادند و پنج رژیم جریانی را شناسایی کردند. این رژیمها را که به ازای $\beta = 416$ ، $4 \leq KC \leq 8$ ، $8 \leq KC \leq 15$ ، $15 \leq KC \leq 22$ ، $22 \leq KC \leq 30$ و $KC \geq 30$ به دست آمدند به ترتیب نامتقارن^۲، عرضی^۳، قطری^۴، گردابه^۵ سوم^۶ و شبه دائم نامیدند. تاتسونو و بیرومن آزمایشات استوانه نوسانی در سیال ساکن را با تاکید بر مشاهده شکل جریان انجام داده و هشت رژیم جریانی را به ترتیب زیر شناسایی و معرفی کرده اند.

رژیم A* - برای KC های کوچک - جریان بدون جدایی - وجود جریان ثانویه - دوبعدی

رژیم A - برای $\beta < 50$ به ازای KC های بزرگتر - در هر نیم سیکل یک جفت گردابه متقارن جدا می شوند دوبعدی

رژیم B - ($2 < KC < 4, \beta > 50$) - ناپایداری سه بعدی - گردابه های در امتداد محور استوانه

رژیم C - ($5 > KC > 4, \beta < 50$) - جابه جا شدن گردابه های بزرگ - سه بعدی

رژیم D - ($KC > 5, \beta < 40$) - جابه جایی عرضی گردابه ها در یک طرف محور نوسان - سه بعدی

شبیه سازی شکل جریان و هم به توزیع زمانی نیرو و ضرایب کلی توجه شده و سعی شده است تغییرات زمانی نیرو و ضرایب نیرویی با جزئیات بیشتری تجزیه و تحلیل شوند. همچنین کارایی معادله موریسون در محاسبه ضرایب نیرویی بررسی شده است.

۲- معادله های حاکم و روش حل عددی

معادله انتقال جریان آرام برای یک متغیر عمومی ϕ در دستگاه مختصات کارتزین به صورت زیر است

$$\frac{\partial(\rho\phi)}{\partial t} + \frac{\partial(\rho U_i \phi)}{\partial X_i} = \frac{\partial}{\partial X_i} (\Gamma_\phi \frac{\partial \phi}{\partial X_i}) + S \quad (5)$$

ضریب Γ_ϕ در معادله ممتنم برابر لزجت (μ) است. متغیر ϕ مقادیر u و v را اختیاری کند. S جمله چشمه است و در معادله ممتنم گرادیان فشار را نیز در بر می گیرد. مسئله جریان نوسانی حول یک استوانه ساکن را با انتخاب یک شبکه نوع O حول استوانه و قرار دادن دستگاه مختصات در مرکز استوانه حل می کنیم. در رابطه با حل مسئله استوانه نوسانی در سیال ساکن، دوچ [۱۲] نشان داد که می توان از همان شبکه و دستگاه قبلی استفاده کرد لیکن باید جمله $-\rho \frac{\partial \bar{U}_\infty}{\partial t}$ را به سمت راست معادله ممتنم اضافه کرد. در این صورت نیازی به تغییر شبکه همراه با حرکت استوانه نخواهد بود. بدین ترتیب سرعت در دور دست، منفی سرعت استوانه قرار داده شده و روی سطح استوانه از شرط عدم لغزش استفاده می شود. در هر صورت ضرایب نیرویی بدون بعد برای هر دو مسئله، استوانه نوسانی در سیال ساکن و جریان نوسانی حول استوانه ساکن، یکی است و با حل مسئله جریان نوسانی حول استوانه ساکن و محاسبه میدان سرعت، می توان میدان سرعت مسئله دیگر را با کم کردن سرعت \bar{U}_∞ از میدان سرعت به دست آورد. میدانهای فشار نیز با توجه به معادله زیر قابل تبدیل اند.

$$\vec{\nabla} P_2 = \vec{\nabla} P_1 - \rho \frac{\partial \bar{U}_\infty}{\partial t} \quad (6)$$

که در آن P_1 و P_2 به ترتیب معرف میدان فشار در مسئله جریان

$T/720$ تا $T/60$ انتخاب شده است. در این مقاله برخی رژیمهای جریانی شبیه سازی و شکل خطوط جریان رژیم متقارن با نتایج آزمایش مقایسه شده اند که نتیجه خوب بوده است. همچنین مقادیر C_D و C_M محاسبه و با کارهای دیگران مقایسه شده اند. به علاوه تغییرات زمانی نیروهای وارد بر استوانه (F_x, F_y) که با $1/2\rho U_m^2$ بدون بعد شده اند (C_x, C_y) برای بعضی حالات آورده شده و مقایسه ای صورت نگرفته است.

لوو و همکاران [۱۳] جریان مغشوش سه بعدی را در محدوده $2 < KC < 10$ و $\beta = 1035$ شبیه سازی کرده اند. در این کار جریان مغشوش در حد ادیهای کوچک با بهره گیری از مدل اسماکورینسکی^۶ مدل شده و ادیهای بزرگ (LES) شبیه سازی شده اند. نیروهای پسا و اینرسی محاسبه و با نتایج تجربی انطباق خوبی را نشان می دهند.

ژنگ و دالتون [۱۴] با استفاده از روش تفاضل متناهی مسئله جریان نوسانی حول استوانه را در محدوده $1 < KC < 12$ و $100 < Re < 3000$ با استفاده از ψ, ω هندسه دوبعدی و سه بعدی حل کرده و ناپایداری هونجی و سه بعدی شدن جریان را مورد تایید قرار دادند. نتایج حاصل از شبیه سازی شکل جریان و ضرایب نیرویی، انطباق خوبی را با نتایج تجربی نشان می دهد.

از جمع بندی کارهای انجام شده می توان نتیجه گرفت که در رژیم آرام فعالیت روی مدل های دوبعدی متمرکز بوده و از همین مدل برای بررسی رژیمهایی که سه بعدی اند نیز استفاده شده است. در این کارها تحلیل عملکرد جمعی جریان در قالب اعداد کلی C_x, C_y, C_M و C_D صورت گرفته و کمتر به نحوه تغییرات زمانی F_x, F_y و اطلاعاتی که می توان با مطالعه آنها به دست آورد توجه شده است. به علاوه در هر مقاله عموماً بیشتر روی یکی از دو مسئله شکل جریان و یا ضرایب نیرویی تاکید شده است. در این مقاله کارایی استفاده از مدل های دوبعدی جریان آرام برای تحلیل جریانهای مطروحه بررسی می شود. در این رابطه هم به

۳- ارائه نتایج

محور بررسیهای انجام شده در این مقاله در خصوص قابلیت مدل دو بعدی آرام برای تحلیل جریان آرام نوسانی و یا حرکت نوسانی یک استوانه در سیال ساکن است. در اینجا ضمن مقایسه نتایج مدل با نتایج تجربی حالاتی که جریان عملاً سه بعدی است محدوده توانایی مدل مشخص می شود. بدین منظور ابتدا مطالعات شبکه و حساسیت نتایج به نوع شبکه انتخابی آورده می شود سپس به ارائه نتایج مدل در خصوص شکل جریان و ریزش گردابه ها پرداخته و در ادامه به دینامیک جریان و محاسبه و تحلیل نیروها می پردازیم.

الف - مطالعات شبکه

با توجه به هندسه مسئله، یک شبکه نوع O انتخاب و خطوط شبکه به صورت دایره هم مرکز و شعاعهای این دایره شکل می گیرند. پارامترهای هندسی $R_{\infty}, \delta, \Delta, \varepsilon$ در ساختن این شبکه دخالت دارند. به علاوه مقدار گام زمانی نیز در نتایج تأثیر می گذارد که مورد بررسی قرار گرفته است. کمیت های مورد مقایسه ضرایب $C_M, C_D, C_{x_{max}}, C_{y_{max}}$ هستند. نتیجه مقایسه در جدول (۱) آورده شده است. در این جدول در تمام حالات $\beta = 35$ و $KC = 8$ انتخاب و مسئله حداقل تا ۵۰ سیکل حل شده و ضرایب با متوسط گیری از مقادیر ده سیکل آخر به دست آمده اند. اثر قلمرو حل، R_{∞} ، در ردیفهای B، E، K و L آورده شده است. در این حالات یک شبکه مشخص با $R_{\infty} = 100R$ انتخاب و سپس کاهش قلمرو با برداشتن چند ردیف بیرونی شبکه صورت گرفته است. حداکثر اختلاف بین این چهار مورد برای مقادیر $C_M, C_D, C_{x_{max}}$ و $C_{y_{max}}$ به ترتیب ۱/۸، ۱/۷، ۱/۴ و ۱۱/۳ درصد است. این بررسی نشان می دهد که به کار بردن شرط مرزی جابه جایی در مرز خارجی میدان به خوبی توانسته تأثیر قلمرو حل روی نتایج را به حداقل برساند. اختلاف قابل توجه ۱۱/۳ درصد که در ضریب نیروی عرضی $C_{y_{max}}$ مشاهده می شود دلیل اثر قلمرو حل نبوده بلکه بیشتر ناشی از نامنظم بودن و تغییر تدریجی شکل جریان از یک

نوسانی حول استوانه ساکن و استوانه نوسانی در سیال ساکن هستند.

در این مقاله مسئله برای جریان نوسانی حول استوانه ساکن حل شده است. در هر لحظه از نیمی از مرز خارجی جریان وارد و از نیم دیگر خارج می شود. روشن است که این دو نیمه در هر سیکل نوسان جای خود را با هم عوض می کنند. در نیمه ای که جریان وارد می شود شرایط مرزی $u = U_{\infty}$ و $v = 0$ است. در نیمه خروجی از شرط مرزی جابه جایی^۷ به صورت زیر استفاده می شود.

$$\frac{\partial u}{\partial t} + U_{\infty} \frac{\partial u}{\partial x} = \frac{\partial U_{\infty}}{\partial t} \quad (۷)$$

$$\frac{\partial v}{\partial t} + U_{\infty} \frac{\partial v}{\partial x} = 0 \quad (۸)$$

این نوع اعمال شرایط مرزی از معادله ممتنم و با حذف عبارات ناچیز در نواحی دور دست استخراج شده و نسبت به اعمال شرط مرزی نیومن ارجحیت دارد زیرا برگرفته از معادله های حاکم بوده و قادر است تغییرات جریان را با دقت بیشتری پیش بینی کند و امواج و گردابه ها نیز قادر خواهند بود بدون انعکاس از مرز خارج شوند [۱۷]. با انتخاب شرط مرزی جابه جایی می توان محدوده حل کوچکتری انتخاب نمود. لذا با تعداد گره یکسان می توان به دقت بالاتری دست یافت. شکل تفاضل متناهی شرط مرزی جابه جایی به طور نمونه برای مؤلفه u سرعت به صورت زیر است

$$u_N^* = u_N^p - \frac{\Delta t}{(\Delta x_N)} U_{\infty} (u_N^p - u_{N-1}^p) \quad (۹)$$

$$u_N^{p+1} = u_{cor} + u_N^* \quad (۱۰)$$

اندیس N معرف شماره گره در جهت جریان و اندیس P معرف شماره گام زمانی است. u_{cor} یک عبارت اصلاح سرعت است به نحوی که توازن دبی جرمی خروجی و ورودی را در هر گام برقرار می کند و برای تمام نقاط مرز خروجی مقدار یکسانی دارد. برای حل عددی از الگوریتم سیمپل سی^۸ و شبکه نوع O منطبق بر بدنه^۹ و هم مکان^{۱۰} استفاده شده است. در محاسبه عبارات جابه جایی روش کوییک^{۱۱} و برای محاسبه تغییرات زمانی روش کرانک - نیکولسون^{۱۲} به کار گرفته شده است.

مقایسه شدند. نتیجه عدم وابستگی رفتار جریان به نوع اختلال اعمالی را تأیید کرد. در این مقاله چرخش مثبت و سپس منفی مورد استفاده قرار گرفته است.

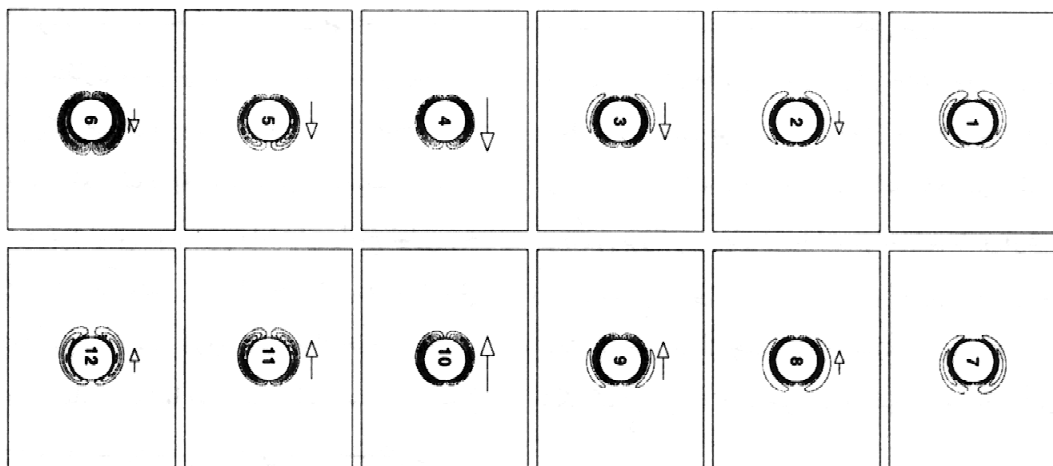
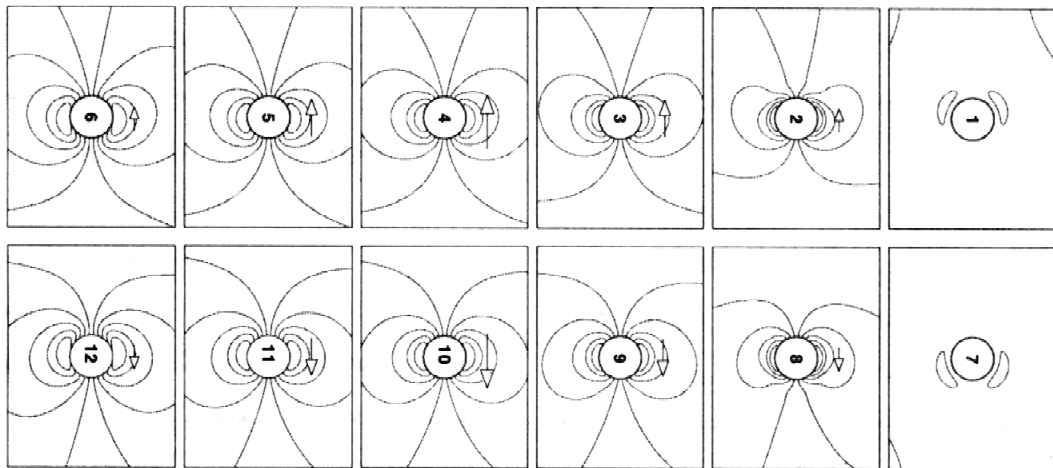
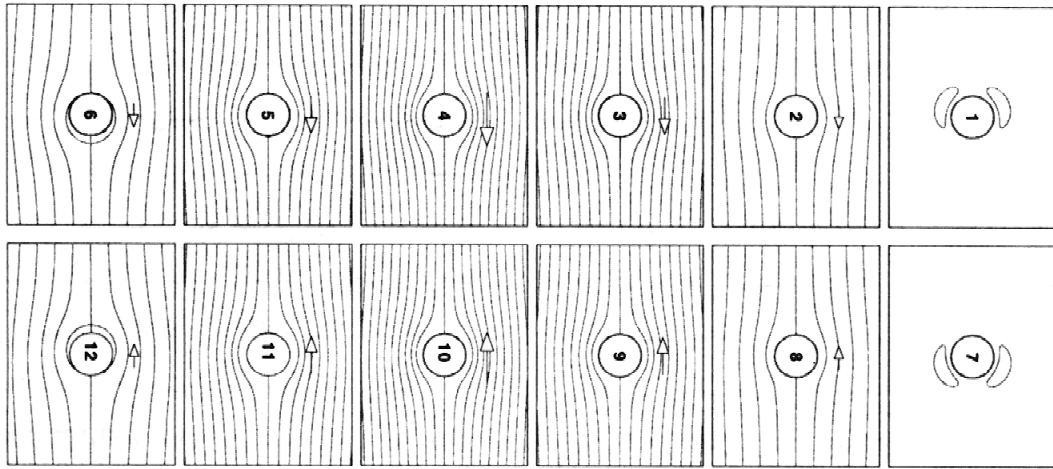
ب - بررسی سینماتیک جریان

در این بررسی رژیمهای A^* ، A ، B ، C و D مورد توجه قرار گرفته و شبیه سازی شده‌اند. مسئله به صورت دو بعدی برای جریان نوسانی حول استوانه ساکن حل شده و سپس با کم کردن $U_m = U_\infty$ از سرعت، میدان جریان حول یک استوانه نوسانی در سیال ساکن به دست آمده است. این انتقال تغییری در ضرایب نیرو (C_x, C_y) و میدان رتیسیتی ندارد. نتایج بررسی به صورت کانتورهای خطوط جریان نوسانی حول استوانه ثابت، جریان حاصل از حرکت نوسانی استوانه در سیال ساکن و خطوط رتیسیتی که برای هر دو حالت یکسان است آورده شده است.

شکل (۱) معرف رژیم A^* به ازای $\beta = 35$ و $KC = 1.0$ است. دسته شکل‌های (الف)، (ب) و (ج) هر یک تاریخچه و روند جریان را در یک سیکل با دوازده شکل با فواصل زمانی $T/12$ (شش شکل سمت چپ برای نیم سیکل اول و شش شکل سمت راست برای نیم سیکل دوم) نشان می‌دهند. در اینجا علی‌رغم اینکه Re_{max} مقدار قابل توجهی دارد گردابه‌ها شکل نگرفته‌اند. این در حالی است که در جریان یکنواخت حول استوانه به ازای این عدد رینولدز یک جفت گردابه چسبیده در پشت استوانه تشکیل می‌شوند [۱۶]. این رژیم جریانی به ازای مقادیر بسیار بزرگتر عدد رینولدز نیز چنانچه KC باندازه کافی کوچک باشد روی می‌دهد. دلیل این پدیده را می‌توان این گونه توصیف کرد که KC کوچکتر به معنی فرکانس بزرگتر جریان (و یا استوانه) است و فرکانس بیشتر امکان شکل‌گیری گردابه‌ها را از بین می‌برد به این صورت که مثلاً اگر جریان از چپ به راست باشد، به محض شروع شکل‌گیری گردابه‌ها جریان معکوس شده و آنها را از بین

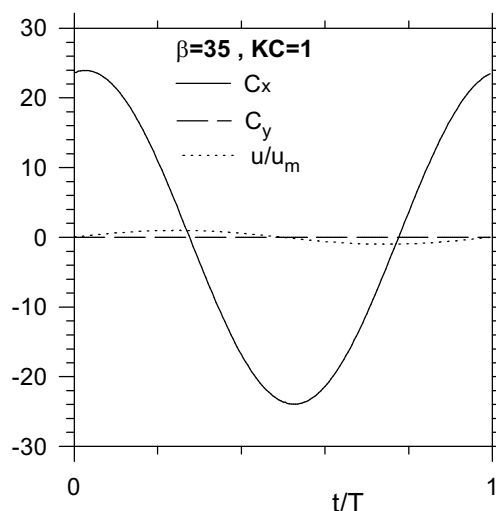
سیکل به سیکل دیگر است. به عبارت دیگر حتی در مورد یک قلمرو انتخابی ثابت، این پدیده باعث تغییرات قابل توجه $C_{x_{max}}$ از یک سیکل به سیکل دیگر می‌شود. به دلیل اینکه ضریب نیروی طولی C_x عمدتاً از شتاب و سرعت جریان تبعیت می‌کند تغییرات آن از یک سیکل به سیکل دیگر کم است. تأثیر δ/D و Δ/D شبکه با ثابت نگهداشتن تعداد گره‌ها (102×102) در ردیف‌های B, F, I و G آورده شده است. حداکثر اختلاف در پارامترهای $C_M, C_D, C_{x_{max}}$ و $C_{y_{max}}$ مساوی $2/8, 1/3, 6/1$ و $16/7$ درصد است. تأثیر تعداد گره‌های شبکه و یا به عبارت دیگر ضریب انبساط شبکه در ردیف‌های G, J و K نشان داده شده است. حداکثر اختلاف به ترتیب $3/5, 2/3, 1/1$ و $10/1$ درصد است. تأثیر گام زمانی در ردیف‌های A, B و C آورده شده است. ملاحظه می‌شود انتخاب $\delta t = T/200$ مناسب بوده و کوچکتر از آن تأثیر ناچیزی در نتایج می‌گذارد. در مجموع از مقایسه‌های بالا می‌توان چنین نتیجه گرفت که شبکه‌های متنوع بالا در تحلیل نیروها با هم قابل مقایسه بوده لیکن به دلیل اینکه فعالیت اصلی گردابه‌ها در حوالی استوانه متمرکز بوده و با دور شدن ضعیف و پراکنده می‌شوند شبکه‌های با قلمرو کوچکتر ارجح‌اند. به علاوه شبکه ریزتر در نشان دادن شکل جریان و موقعیت گردابه‌ها بهتر عمل می‌کند. در اجراهای بعدی شبکه ای با تعداد گره‌های 130×160 و قلمرو $R_\infty = 25R$ استفاده شد.

در اینجا باید اشاره کرد که در اجرای برنامه، حتی برای حالتی که عملاً جریان رفتار نامتقارن نشان می‌دهد، نتیجه همواره به جوابهای متقارن منجر می‌شود. لذا بایستی پس از چندین گام زمانی یک اختلال در جریان وارد کنیم تا منجر به جوابهای نامتقارن و واقعی شود. به روشهای مختلف می‌توان این اختلال را وارد کرد لیکن مهم عدم وابستگی پاسخ نهایی به نوع اختلال است. برای این منظور ایجاد اختلال به دو شکل مختلف تغییر پله‌ای در سرعت‌های ورودی و ایجاد چرخش مثبت و سپس منفی روی سطح استوانه صورت گرفته است. دو نوع اختلال فوق ایجاد و پاسخها پس از طی پنج سیکل زمانی



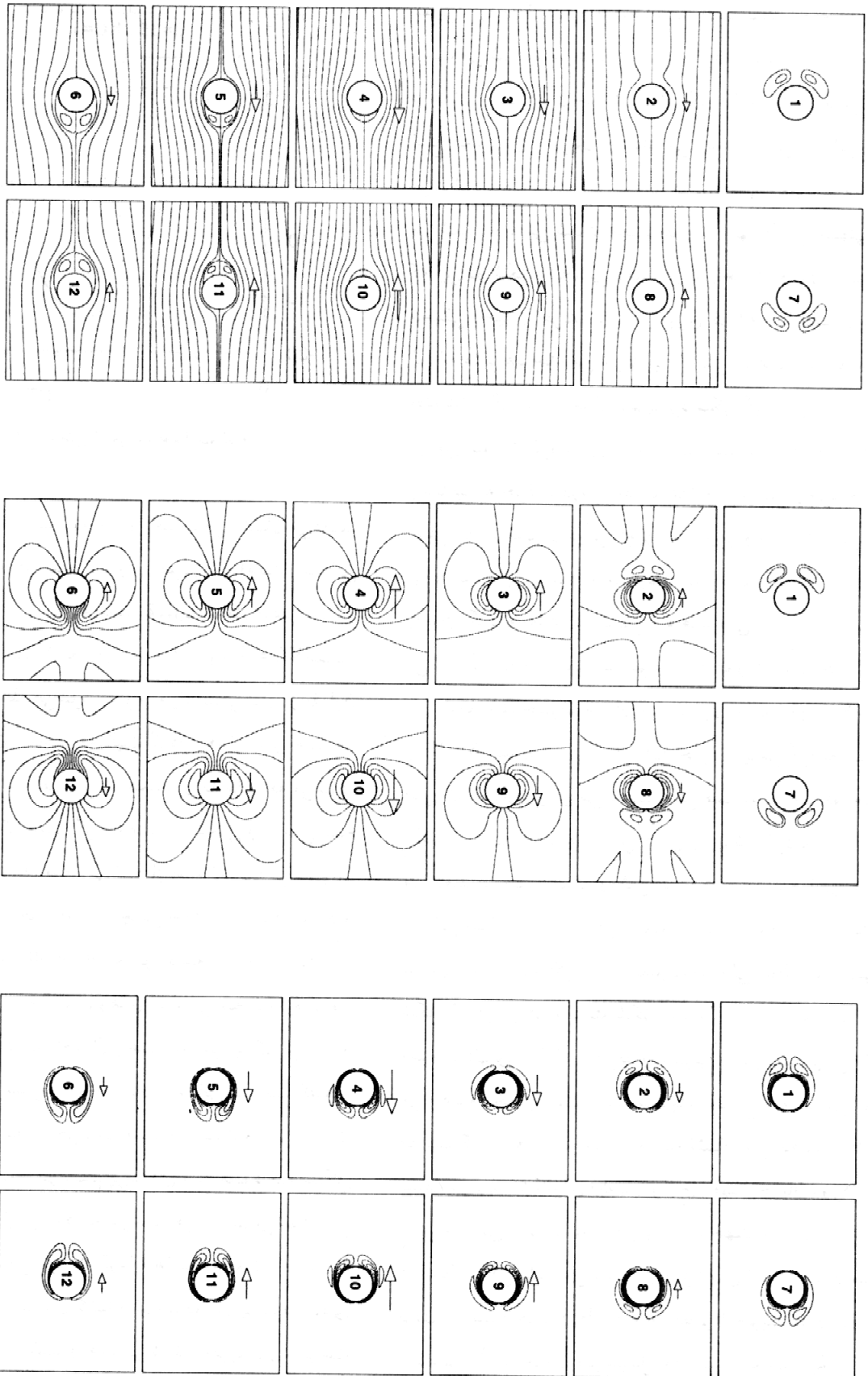
شکل ۱- از راست به چپ به ترتیب خطوط وزیستی و خطوط جریان برای حالت‌های استوانه نوسانی و جریان نوسانی به ازای $\beta = 35$ ، $KC = 1.0$

القایی وارد بر گردابه و نزدیک بودن آن به نقطه زاویه ۹۰ درجه باعث می شود به سرعت از بالای استوانه عبور کرده و سپس در همان سمت از آن جدا شود. شکل (۶) مقاله تاتسونو [۷] نتایج تجربی این جریان را نشان می دهد و شکل (۳) این مقاله موید این بحث است. اگر گردابه ها در همان سمتی که تشکیل می شدند جدا می شدند جهت چرخش آنها عکس جهتی بود که این دو شکل نشان می دهند. در این حالت چون اختلالات محیطی ناچیز و جریان تا شکل گیری گردابه ها متقارن است گردابه ها با هم جدا می شوند. با افزایش سرعت استوانه امکان جدا شدن گردابه در همان نیم پریود شکل گیری فراهم می شود. در این صورت گردابه ای در پشت تشکیل شده و در همان راستا نیز به حرکت درمی آید. به علاوه به دلیل وجود جریان اصلی که سرعت آن دیگر ناچیز نبوده و نیروهای اینرسی قابل توجه اند، یکی از گردابه ها زودتر جدا شده و شرایط جدا شدن را برای گردابه بعدی تا مدتی به هم می زند و این باعث می شود گردابه ها پشت سر هم و نه به طور همزمان جدا شوند. شکل (۴) خطوط جریان و ورتیسیته را به ازای $KC=8$ و $\beta=35$ نشان می دهد. در این جریان ریزش گردابه ها به صورت نامتقارن روی می دهد. این مسئله در هر دو حالت (الف) و (ب) که نحوه شکل گیری و ریزش گردابه ها را نشان می دهند مشخص است. روشن است که گردابه ها در جریان نوسانی حول استوانه ساکن (الف) با گردابه های حول استوانه نوسانی در سیال ساکن (ب) متفاوت اند ولی تناظر بین آنها در شکل گیری، از هردو دسته شکل (الف) و (ب) و همین طور دسته شکل های (ج) که خطوط ورتیسیته را در یک سیکل نشان می دهد مشخص است. دسته شکل های (۴-ج) به خوبی محل فعالیت گردابه ها را در هر دو مسئله نشان می دهند. علامت پیکان در دسته شکل های (الف) و (ج) جهت جریان دوردست استوانه ساکن و در دسته شکل های (ب) جهت حرکت استوانه را در سیال ساکن نشان می دهد. از ویژگی های این جریان منظم بودن آن است. همان طور که از خطوط جریان و ورتیسیته مشخص است، جریان نیم سیکل اول نسبت به نیم سیکل دوم

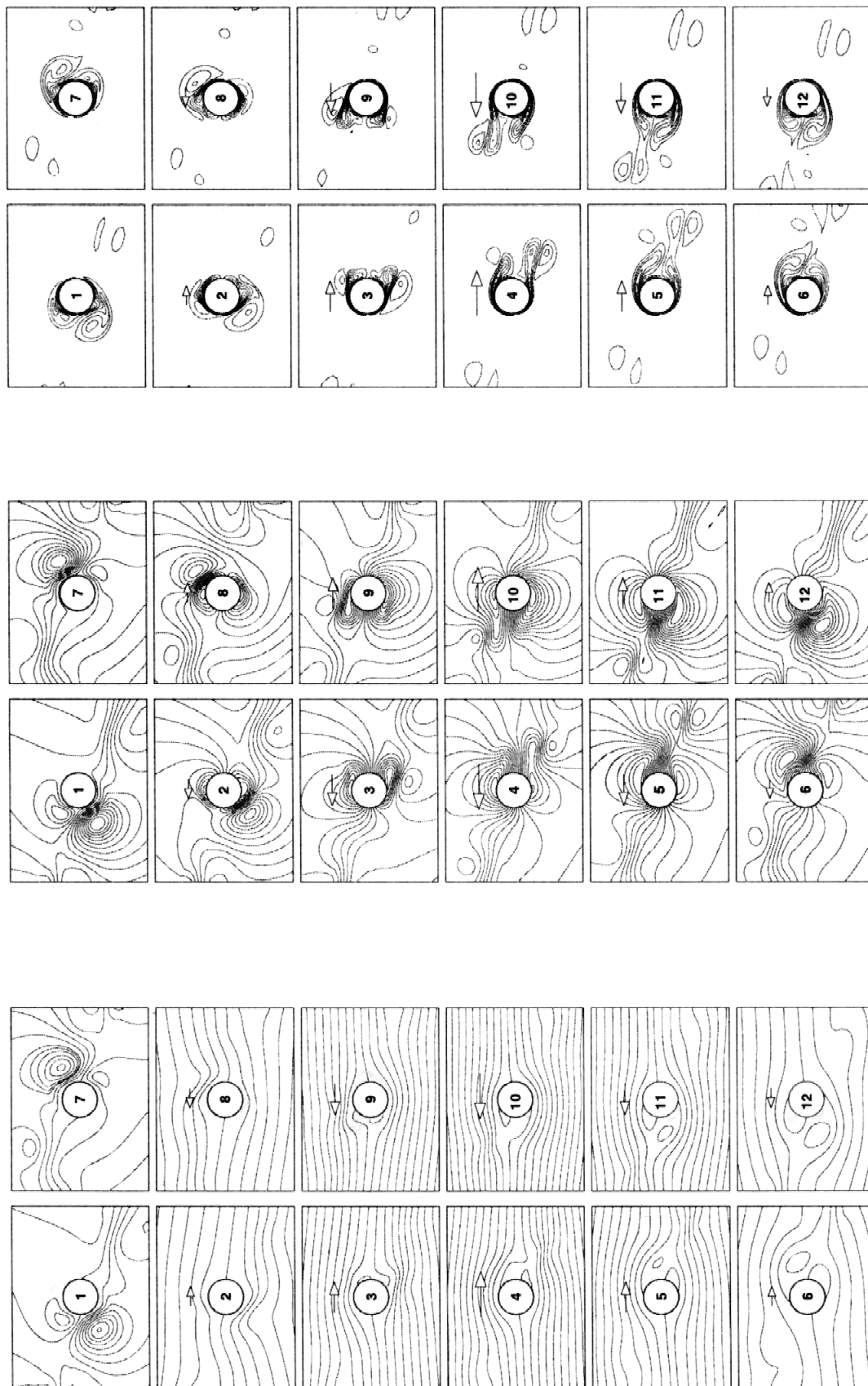


شکل ۲- منحنی تغییرات ضرایب نیرو

می برد. شکل (۲) ضرایب نیرو را در یک سیکل نشان می دهد. ملاحظه می شود که ضریب نیروی طولی C_x مقدار بالایی دارد در حالیکه ضریب C_y به علت تقارن کامل صفر است. شکل (۳) معرف رژیم A به ازای $\beta=35$ و $KC=4$ است. همان طور که ملاحظه می شود خطوط ورتیسیته نیز از تقارن برخوردارند. به علاوه محل فعالیت گردابه ها از روی خطوط ورتیسیته نیز قابل تشخیص است. همانطور که ملاحظه می شود در هر نیم سیکل یک جفت گردابه متقارن تشکیل و موقعی که سرعت جریان (استوانه) صفر می شود از استوانه جدا می شوند. در جریان یکنواخت حول استوانه چنین حالتی وجود ندارد و آغاز ریزش گردابه ($Re \geq 40$) همواره به صورت نامتقارن است. در واقع در این حالت نیروهای اینرسی به اندازه کافی قوی بوده و با کوچکترین اختلال باعث جدایش یک گردابه و برهم زدن تقارن می شوند. در جریان نوسانی سرعت القایی گردابه ها هم جهت با حرکت استوانه است و این باعث چسبیده ماندن گردابه ها در نیم پریودی می شود که شکل می گیرند. در اواخر نیم پریود که سرعت جریان کم می شود اثر سرعت القایی باعث می شود که گردابه ها به سمت زاویه ۹۰ درجه نسبت به محور نوسان کشیده شوند. در نیم پریود بعدی جهت جریان برعکس شده و همسو شدن جریان و سرعت

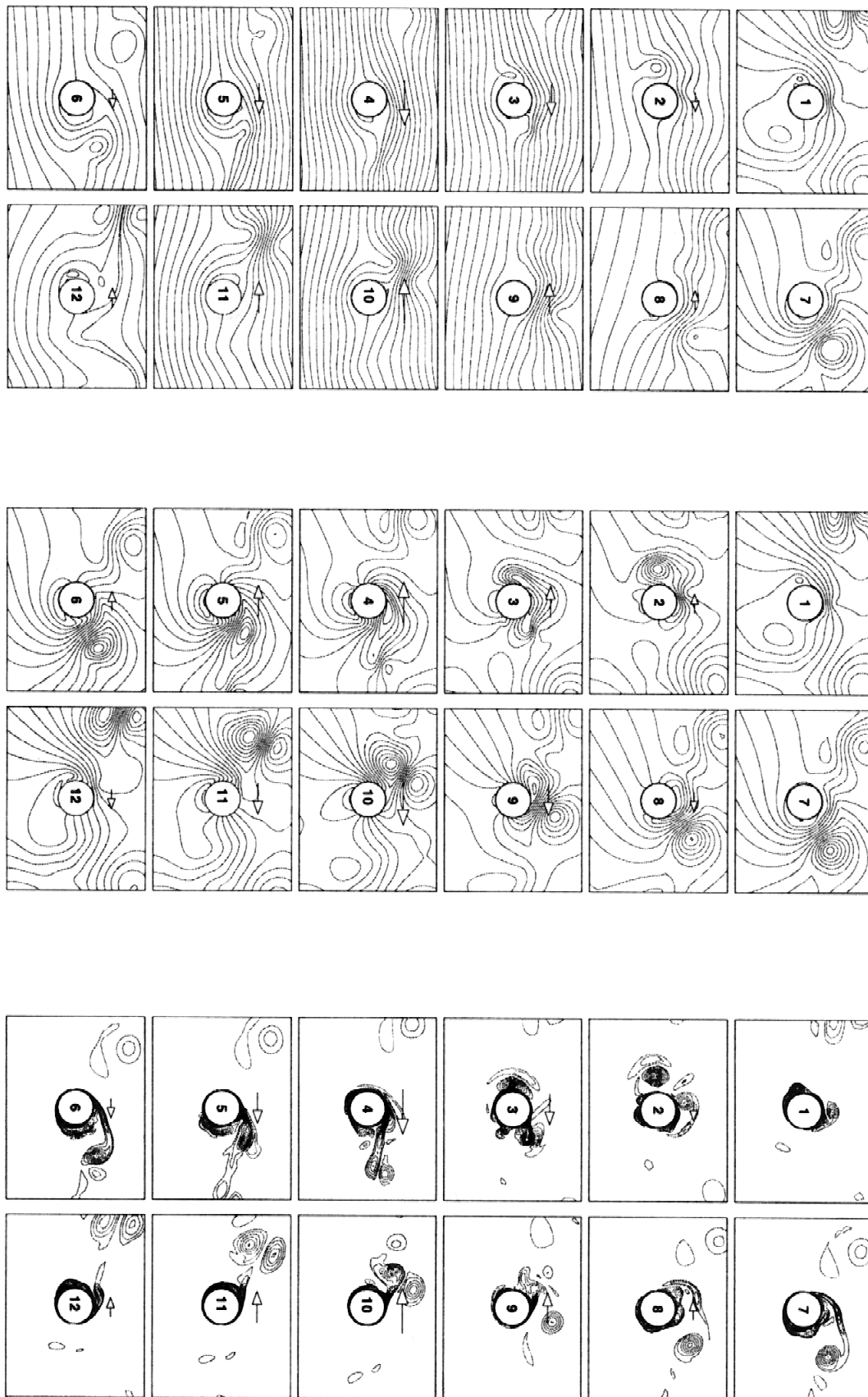


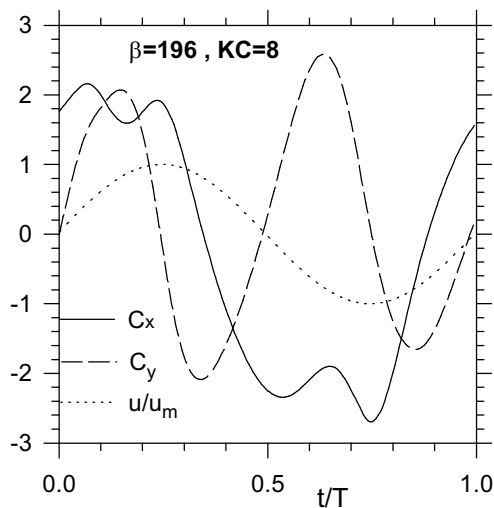
شکل ۳- از راست به چپ به ترتیب خطوط ورتیستی و خطوط جریان برای حالت‌های استوانه نوسانی و جریان نوسانی به ازای $\beta = 35$, $KC = 4.0$



شکل ۶- از راست به چپ به ترتیب خطوط ورتیسیتی و خطوط جریان برای حالت‌های استوانه نوسانی و جریان نوسانی به ازای $\beta = 35$, $KC = 8.0$

شکل ۵- از راست به چپ به ترتیب خطوط ورتیستی و خطوط جریان برای حالت‌های استوانه نوسانی و جریان نوسانی به ازای $\beta = 196$, $KC = 8.0$





شکل ۶- تغییرات ضرایب نیرو در یک سیکل

گوشه کادر نشان داده شده در وضعیتهای (۳) و (۹) کاملاً واضح است. شکل (۸) ضرایب نیروی طولی و عرضی رژیم جریانی بالا را در یک سیکل نشان می دهد. فرکانس ضریب نیروی عرضی C_y سه برابر فرکانس جریان است که از ویژگیهای جریان قطری است و ویلیامسون [۹] به آن اشاره کرده است.

ج- بررسی دینامیک جریان

در این بخش به منظور اطمینان از عدم وابستگی نتایج به انتخاب شرایط اولیه، در تمامی حالتها برنامه حداقل تا ۵۰ سیکل حل شده و نتایج با میانبازی بین سیکلهای آخر به دست آمده‌اند.

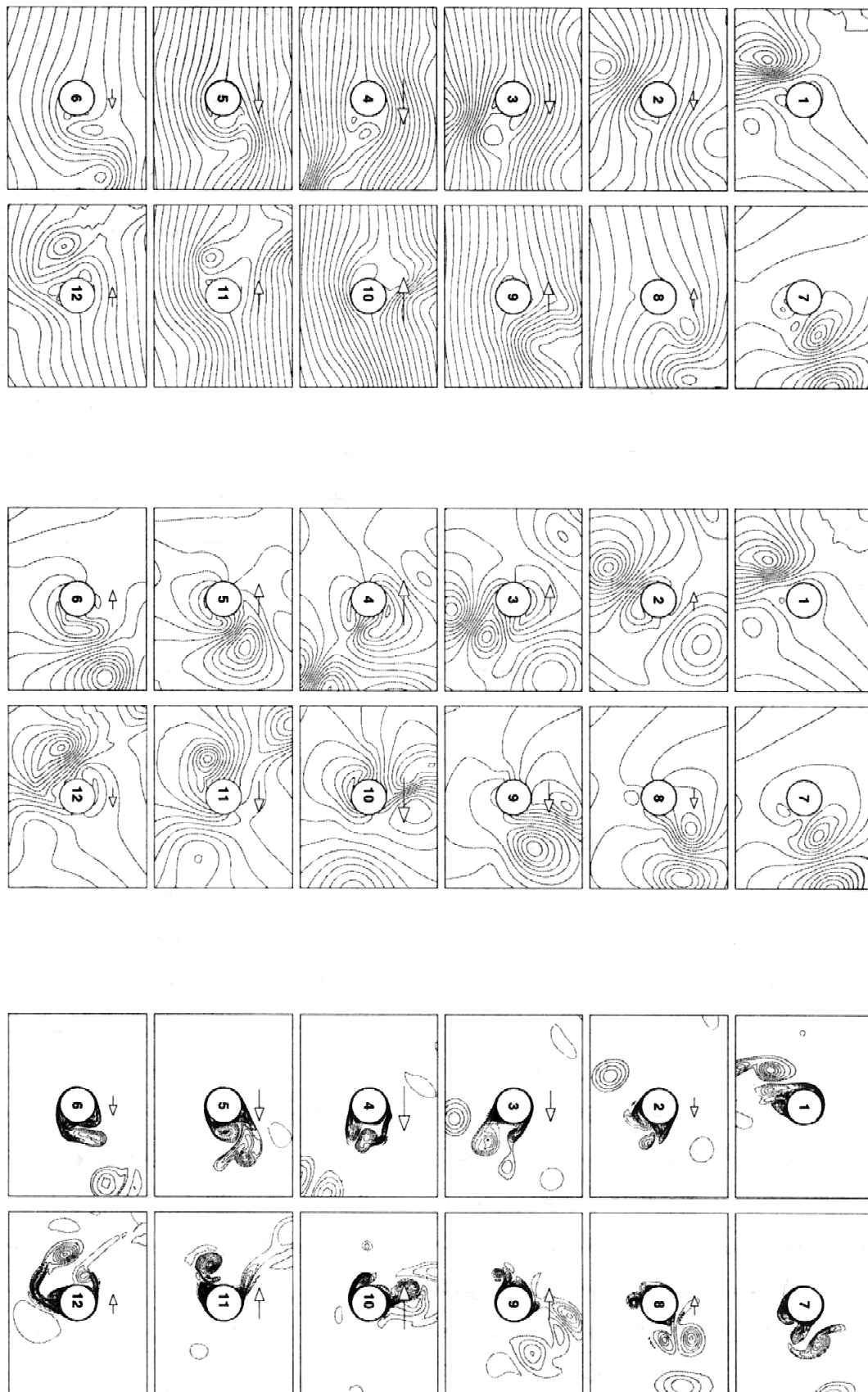
نیروی طولی وارد بر استوانه، F_x ، را در هر گام زمانی محاسبه و سپس با توجه به معادله (۱) و میانگیری فوریه از آن، ضرایب C_M و C_D در هر سیکل به دست می‌آیند. متوسط این ضرایب در طی سیکلهای متوالی آخر، در شکلهای (۹) الی (۱۰) آورده شده و با نتایج تحلیلی، تجربی و عددی مقایسه شده‌اند. شکلهای (۹) و (۱۰) مربوط به $\beta=35$ و شکلهای (۱۱) و (۱۲) مربوط به $\beta=196$ هستند. ملاحظه می‌شود در حالت حدی که

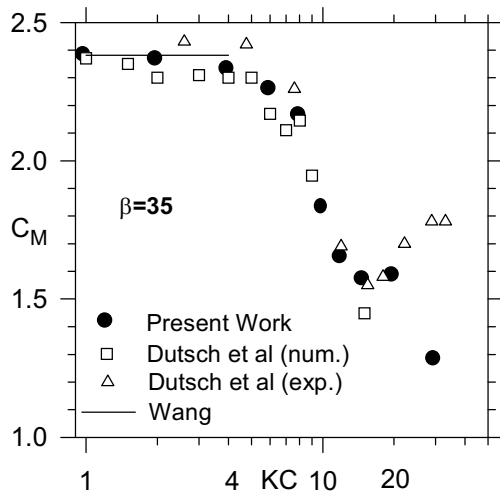
پاد متقارن است و تغییرات سیکل به سیکلی در جریان وجود ندارد. البته با افزایش KC ، اگر چه ممکن است جریان رژیم مشابهی داشته باشد ولی به تدریج دچار نامنظمی و تغییرات سیکل به سیکل می‌شود.

شکل (۵) خطوط جریان را برای $\beta=196$ و $KC=8$ نشان می‌دهد. اگر به خطوط جریان به خصوص در دسته شکلهای (ب) دقت شود به وضوح ریزش یک جفت گردابه را از سمت بالای استوانه می‌توان ملاحظه کرد. این رژیم جریانی همان رژیم عرضی است که اوباساجو و همکاران معرفی کرده‌اند. دور شدن این جفت گردابه‌ها از بالای استوانه در دسته شکلهای (۵-ب) در وضعیت (۴)، (۵) و (۶) قابل ملاحظه است به طوری که در وضعیت (۷) و (۸) فقط یکی از آنها در کادر دیده می‌شود. به کمک این دو دسته شکل که تاریخچه جریان را در یک سیکل نشان می‌دهند نحوه شکل‌گیری و ریزش گردابه‌ها روشن می‌شود. در هر دسته شکل (الف) و (ب) وضعیت (۴)، (۵) و (۶) لحظه جدایش و حرکت نهایی جفت گردابه‌ها را به سمت بالا نشان می‌دهند. همان‌طور که مشخص است حرکت گردابه‌ها با زاویه تقریبی ۴۵ درجه و به سمت بالا و راست استوانه است. روشن است که این رژیم جریانی بسته به سمت جدایش گردابه‌ها چهار مد می‌تواند داشته باشد. شکل (۶) ضریب نیروی طولی و عرضی را برای رژیم جریانی فوق‌الذکر در یک سیکل رسم کرده است. فرکانس ضریب نیروی عرضی C_y دو برابر فرکانس جریان است که از ویژگیهای رژیم جریان عرضی است که ویلیامسون [۹] نیز به آن اشاره کرده است.

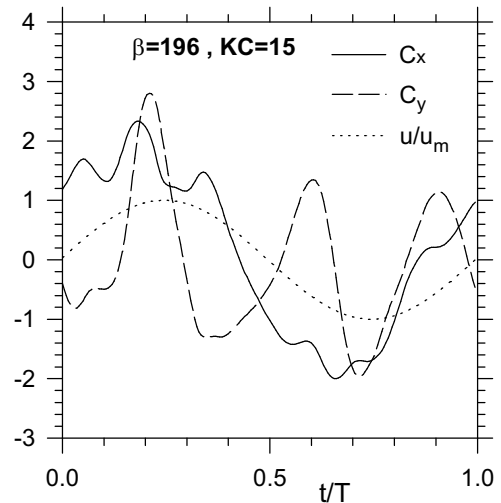
شکل (۷) خطوط جریان را برای $\beta=196$ و $KC=15$ نشان می‌دهد. در این شکلهای وضعیت (۲) و (۳) دور شدن یک جفت گردابه به سمت پایین و در وضعیت (۷) و (۸) به سمت بالا را نشان می‌دهند. این رژیم را اوباساجو و همکاران در کار تجربی خویش مشخص و رژیم قطری نامیده‌اند. زاویه مایل جهت حرکت گردابه‌ها با مقایسه وضعیت (۲) و (۳) از دسته شکلهای (۷-ب) مشخص است. خروج این جفت گردابه‌ها از

شکل ۷- از راست به چپ به ترتیب خطوط وردیستی و خطوط جریان برای حالت‌های استوانه نوسانی و جریان نوسانی به ازای $\beta = 196$, $KC = 15.0$

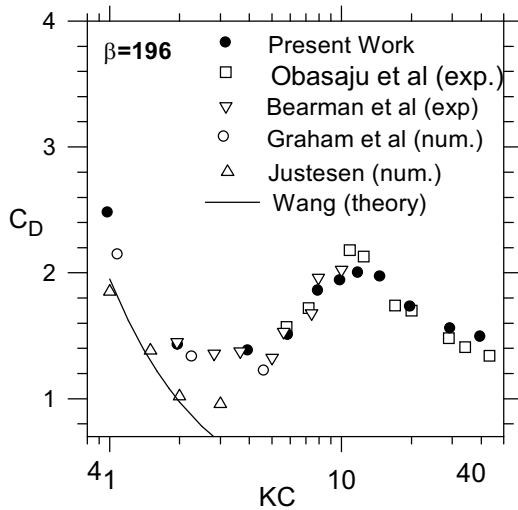




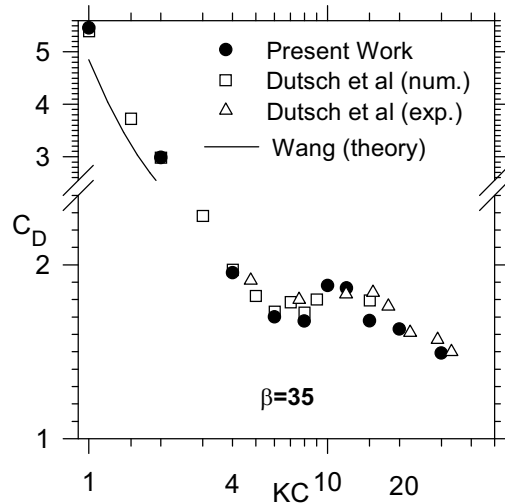
شکل ۱۰- تغییرات ضریب نیروی مجازی با عدد KC



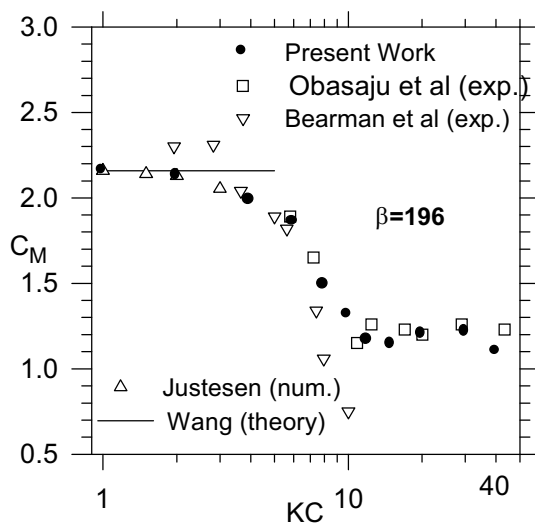
شکل ۸- تغییرات ضرایب نیرو در یک سیکل



شکل ۱۱- تغییرات ضریب درگ با عدد KC

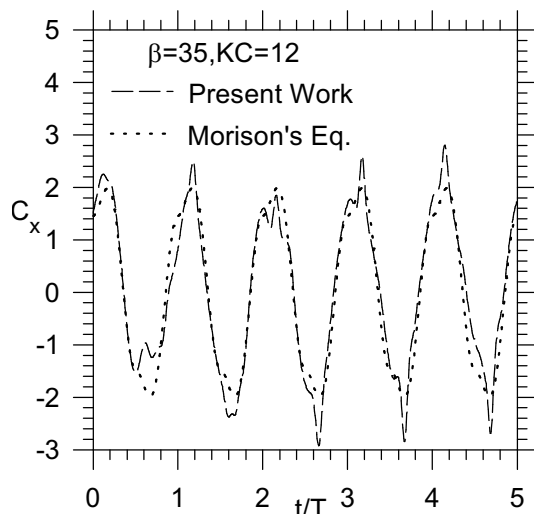


شکل ۹- تغییرات ضریب درگ با عدد KC

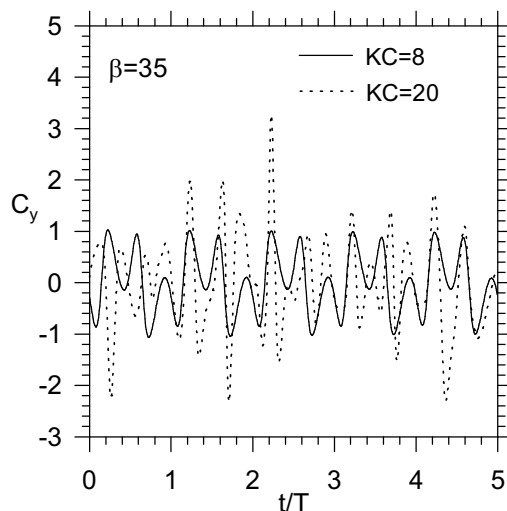


شکل ۱۲- تغییرات ضریب نیروی مجازی با عدد KC

KC عدد کوچکی می شود نتایج به حل تحلیلی ونگ [۳]، معادله (۲)، نزدیک می شوند. انطباق خوب نتایج این مقاله با نتایج عددی و تجربی دوچ [۱۴] علاوه بر اینکه دقت محاسبات را نشان می دهد مؤید این مطلب است که پیش بینی مدل دوبعدی برای جریانهای سه بعدی از دقت خوبی برخوردار است. نکته ای که باید متذکر شد این است که الگوی جریان در محدوده ای که در شکل های (۹) و (۱۰) آمده $1 < KC < 20$ و نسبت به الگوی جریان در محدوده شکلهای (۱۱) و (۱۲) $(\beta = 35)$ منظم تر بوده و تغییرات سیکل



شکل ۱۳- تغییرات ضریب C_x بر حسب زمان

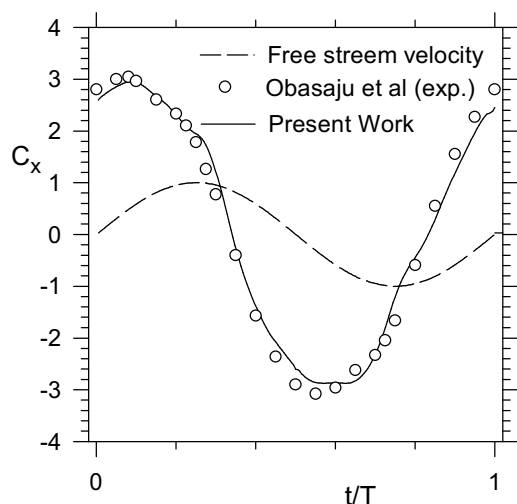


شکل ۱۴- تغییرات ضریب C_x بر حسب زمان

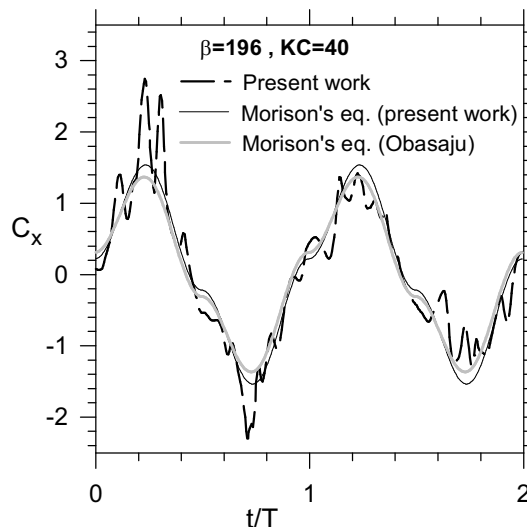
نباشد. در شکل (۱۵) درحالتی که $\beta=196$ $KC=40$ است C_x محاسبه شده با مقدار C_x ارائه شده توسط معادله موریسون مقایسه شده است. ضرایب C_D و C_M معادله موریسون با استفاده از C_x حاصل از کار حاضر و C_x ارائه شده در مرجع [۶] محاسبه شده اند. اگرچه C_D و C_M کار حاضر، با C_D و C_M مرجع [۶] اختلاف قابل توجهی دارند، نتیجه جالب این است که هر دو رفتار کلی مشابهی را از خود نشان می دهند و در واقع اختلاف C_D و C_M به نوعی یکدیگر را جبران می کنند. این منحنی موید این نکته است که C_D

به سیکل کمتر است. لذا متوسط طی سیکلهای آخر می تواند معرف یک متوسط واقعی تر بوده و با نتایج آزمایش مطابقت کند. مقادیر C_D و C_M که از نتایج تجربی به دست آمده اند برگرفته شده از نتایج تعداد بسیار بیشتری سیکل می باشد. همانطور که ملاحظه می شود در شکل های (۱۱) و (۱۲) نتایج تجربی و عددی از پراکندگی بیشتری برخوردار بوده لیکن در KC های کمتر که جریان منظمتر و تغییرات سیکل به سیکل کمتر است انطباق این دو بیشتر شده است. در هر صورت اختلاف نتایج عددی این معادله موریسون (معادله ۱) برای مینا قرار گرفته است که نیروی وارد بر استوانه از سرعت شتاب جریان تبعیت کرده و تغییرات سیکل به سیکل ندارد و لذا ضرایب C_D و C_M مقادیر ثابتی در تمام سیکلها فرض می شوند. این فرض در همه حالات با واقعیت سازگار نیست. در شکل (۱۳) ضریب نیروی طولی C_x برای پنج سیکل متوالی برای حالتی که $\beta=35$ و $KC=12$ است بر حسب زمان رسم شده است. به کمک معادله موریسون و ضریب C_x و روش میانگیری فوریه یا مینیمم مربعات ضرایب C_D و C_M به دست آمده و به کمک آن معادله موریسون را که در واقع نوعی برازش منحنی C_x است رسم شده است. همان طور که ملاحظه می شود رفتار C_x کاملاً منظم و متقارن است هر سیکل نسبت به سیکل بعدی بدون تغییر است. لذا معادله موریسون که براساس همین فرض ارائه شده رفتار را به خوبی بر حسب زمان دنبال می کند. اما از $KC=10$ به بعد برای $\beta=35$ به تدریج جریان نامنظم و همراه با تغییرات سیکل به سیکل می شود. این پدیده به خوبی در شکل (۱۴) که به ازای $KC=20$ است مشهود است. در اینجا یکی از علل منشا اختلاف نتایج محاسبه شده برای C_D و C_M با نتایج موجود مشخص می شود. اصولاً C_D و C_M دارای اصالت محاسباتی نیستند و فقط از برازش منحنی C_x به کمک معادله موریسون به دست می آیند بنابراین بخصوص در جریانهای نامنظم معیار مقایسه مناسبی به حساب نمی آیند. معادله موریسون میانگین C_x را در هر سیکل برابر صفر برآورد می کند در صورتی که ممکن است چنین

است که حتی اگر منحنیهای C_x و C_y طی دو سیکل متوالی هم شکل باشند هم فاز نباشند. لذا مقایسه نتایج عددی و تجربی زمانی معنی پیدا می کند که دو منحنی هم فاز با هم مقایسه شوند. تاتسونو و بیرمن [۷] منحنیهای تغییرات زمانی C_x و C_y در هر سیکل را بر حسب مود دسته بندی کرده به طوری که در هر دسته منحنیها حد اکثر $\pm 5^\circ$ اختلاف فاز داشته باشند. بدین ترتیب از بین ۲۲۰۰ سیکل متوالی با انتخاب ۲۰۰ سیکل و متوسط گیری بین آنها منحنیهای تغییرات زمانی C_x و C_y را برای هر مود استخراج کرده اند. دو حالت از چند حالتی که تاتسونو و بیرمن نتایج تجربی خود را به گونه فوق ارائه کرده اند یکی حالت $KC=7$ و $\beta=416$ که معرف رژیم پاد متقارن و دیگری حالت $KC=18$ و $\beta=416$ که معرف رژیم قطری است. در این دو حالت در این مقاله به صورت عددی C_x و C_y میانگیری شده برای یک مود خالص که از بین بیش از ۵۰ سیکل متوالی انتخاب شده است به دست آمده و نتایج با کار تاتسونو و بیرمن مقایسه شده است. شکلهای (۱۶) تا (۱۹) نتیجه این مقایسه را نشان می دهند. همان طور که نتیجه این



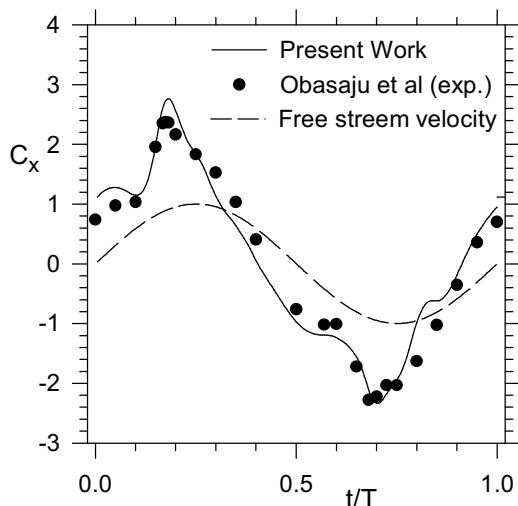
شکل ۱۶- تغییرات ضریب C_x برای یک مود مشخص در طی یک سیکل برای $KC = 7$



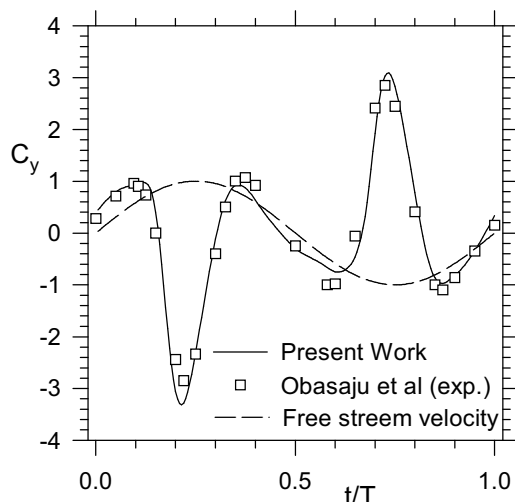
شکل ۱۵- تغییرات ضریب C_x بر حسب زمان

و C_M حاصل از معادله موریسون چندان معیار مقایسه درستی به حساب نمی آیند لیکن اختلاف کم C_x به دست آمده با دو دسته ضریب به نوعی موید صحت محاسبات از یک طرف و قابل استفاده بودن معادله موریسون به عنوان یک تقریب از طرف دیگر است. نکته دیگری که در مورد منشأ اختلاف نتایج قابل اشاره است این است که با افزایش KC و محسوستر شدن اختلاف در واقع جریان نامنظمتر شده و برای داشتن دقت بالاتر در میانیهها، محاسبات باید حداقل تا چندین برابر از نظر زمانی ادامه یابد. نتایج ارائه شده توسط اوپاساجو و همکاران [۶] براساس دویست سیکل آزمایش به دست آمده است تا اثر تغییرات سیکل به سیکل نسبتاً در یک میانیهایی کلی تعدیل شود.

سؤالی که در اینجا مطرح می شود این است که مدل دو بعدی شبیه سازی جریان تا چه اندازه و با چه دقتی می تواند جزئیات لحظه به لحظه نیروهای وارد بر استوانه، C_x و C_y را برای جریانهای دو و سه بعدی نشان دهد. از آنجا که محلی که هر گردابه از روی استوانه جدا می شود و موقعیت زمانی آن در هر سیکل (زمان نسبی) مرتب از یک سیکل به سیکل دیگر هم به دلیل نامنظم بودن جریان و هم تغییر مود جریان تغییر می کند، طبیعی



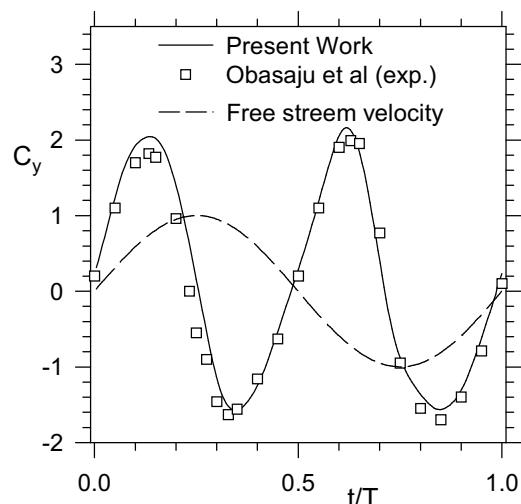
شکل ۱۸- تغییرات ضریب C_x برای یک مود مشخص در طی یک سیکل برای $KC = 18$



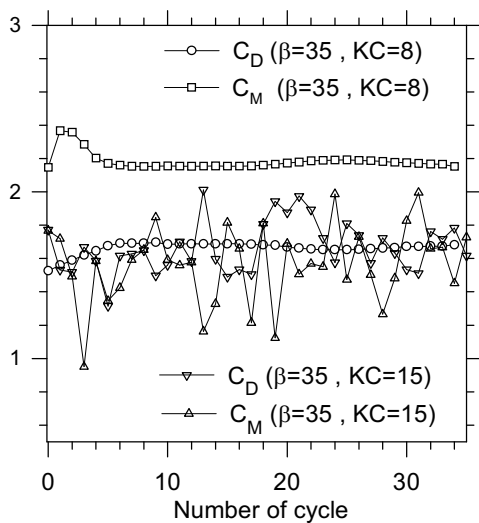
شکل ۱۹- تغییرات ضریب C_x برای یک مود مشخص در طی یک سیکل برای $KC = 18$

متوالی در حالت $\beta = 35$ و $KC=6$ رسم شده است. در این حالت معادله موریسون میانگین C_x را صفر ارائه می کند. ولی در واقع به علت ریزش گردابه ها به صورت مایل نسبت به جریان اصلی و یا ریزش آنها از یک سمت استوانه نسبت به جهت نوسان میانگین C_x و C_y در دره سیکل می تواند عددی غیر از صفر باشد. در رژیمهای جریان منظم مقادیر میانگین C_x و C_y یا مثبت اند و یا منفی و فقط طی گذشت زمان امکان تغییر

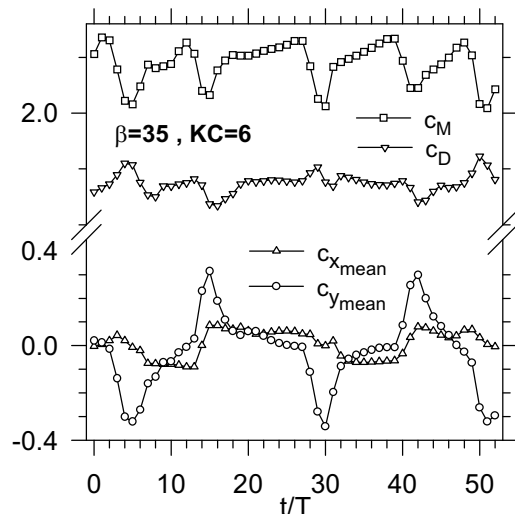
مقایسه را نشان می دهند. همان طور که مشخص است هم C_x و هم C_y میانگیری شده برای یک مود با نتایج تجربی تطابق خوبی دارند. لازم به ذکر است که هم رژیم قطری و هم رژیم پاد متقارن بسته زاویه و سمت ریزش گردابه ها می توانند دو مود داشته باشند. تفکیک مودها از یکدیگر با استفاده از منحنی نیروی طولی میانگین C_x تقریباً ناممکن است، ولی اثر آن را می توان در منحنیهای ضریب نیروی عرضی میانگین هر مود به وضوح دید. در صورتی که منحنی C_y که در شکلهای (۱۷) و (۱۸) رسم شده اند نسبت به محور y ها قرینه شوند ضریب نیروی عرضی میانگین مود دیگر را خواهیم داشت. تمام جریانهایی که تحت یک رژیم جریانی معرفی می شوند، مستقل از مقادیر KC و β ، منحنی نیروهای طولی و عرضی میانگین آنها از الگوی یکسانی تبعیت می کنند. برای مثال فرکانس منحنی C_y در هر سیکل در رژیم پاد متقارن دو برابر فرکانس نوسان و در رژیم قطری سه برابر آن است. در شکل (۲۰) تغییرات C_D, C_M ، $C_{x_{mean}}$ و $C_{y_{mean}}$ که به ترتیب معرف قدر مطلق متوسط C_x و C_y در هر سیکل هستند در طی پنجاه سیکل



شکل ۱۷- تغییرات ضریب C_x برای یک مود مشخص در طی یک سیکل برای $KC = 7$



شکل ۲۱- تغییرات سیکلی ضرایب C_D و C_M برای دو رژیم منظم و نامنظم



شکل ۲۰- تغییرات سیکلی ضرایب $C_{y,mean}, C_{x,mean}, C_y, C_x$

مساوی تعداد گردابه‌های ریزش شده در آن نیم سیکل باشد. ویلیامسون [۹] به این نکته اشاره کرده و اعلام می‌دارد که چنانچه تعداد قله‌های نیم سیکل n باشد معمولاً تعداد گردابه‌های ریزش شده در آن نیم سیکل $(n-1)$ است. همچنین بیرمن [۷] تعداد ریزش گردابه‌ها در هر نیم سیکل را عمدتاً متأثر از عدد KC می‌داند و در مقاله خود به طور تقریبی نشان می‌دهد که با هر بار افزایش KC به اندازه عدد هشت، به تعداد گردابه‌های ریزش شده در هر سیکل دو عدد اضافه می‌شود. این پدیده می‌تواند به حرکت گردابه‌ها و اثری که موقعیت آنها در توزیع فشار روی سطح استوانه دارد مربوط شود که به بررسی آن می‌پردازیم.

ابتدا برای جریان یکنواخت حول استوانه سرعت متوسط دور شدن گردابه‌ها شده و مسافتی را که در فاصله بین دو ریزش متوالی طی می‌کند به دست می‌آوریم. برنامه در محدوده $400 < Re < 1000$ ، اجرا و از طریق تعیین محل گردابه‌ها سرعت متوسط حرکت گردابه، u ، با اختلاف پنج درصد عدد ثابت $u=0.81U$ به دست آمد. اگر T پریود ریزش گردابه‌ها، L مسافت طی شده بین دو ریزش متوالی و $St = d/UT$ عدد استروهمال باشد، با توجه به اینکه $L=uT/2$ است نتیجه می‌شود

علامت آنها به علت تغییر جهت ریزش گردابه‌ها وجود دارد. به این پدیده تغییر مود جریان می‌گویند و هر رژیم جریانی می‌تواند چند مود جریانی داشته باشد [۵-۷]. اما در جریانه‌های نامنظم C_x و C_y از هر سیکل به سیکل بعدی تغییرات زیادی دارند. شکل (۲۱) تغییرات سیکل به سیکل برخی از ضرایب محاسبه شده را در یک جریان منظم و یک جریان نامنظم نشان می‌دهد. جریان منظم به ازای $\beta=35, KC=8$ و جریان نامنظم به ازای $KC=20$ و $\beta=35$ است. تغییرات ضرایب C_D و C_M که از معادله موریسون محاسبه شده رسم شده است. این منحنی، یکنواختی ضرایب را در جریان منظم و تغییرات شدید آن را در جریان نامنظم نشان می‌دهد.

مطالعه منحنی C_y در هر سیکل می‌تواند اطلاعاتی در خصوص ریزش گردابه‌ها در طی آن سیکل ارائه کند. قاعدتاً در جایی که این منحنی دارای قله مثبت یا منفی است جدایی گردابه‌ای صورت گرفته که با برهم زدن توزیع فشار بالا و یا پایین سطح استوانه در آن لحظه، C_y ، دارای ماکزیمم یا مینیمم می‌شود. لذا به نظر می‌رسد تعداد قله‌ها در هر نیم سیکل

جدول ۱- بررسی اثر شبکه و گام زمانی

	δ/D	Δ/D	R_{max}/D	n_θ	n_r	$T/\delta t$	C_D	C_M	ε	$C_{x_{max}}$	$C_{y_{max}}$
A	0.005	3.2	50	102	102	100	1.562	2.333	1.066	3.169	0.866
B	0.005	3.2	50	102	102	200	1.663	2.166	1.066	3.182	1.060
C	0.005	3.2	50	102	102	400	1.704	2.106	1.066	3.178	1.160
D	0.005	3.2	50	130	130	200	1.699	2.188	1.066	3.162	1.077
E	0.005	7.3	100	115	102	200	1.688	2.150	1.066	3.168	1.180
F	0.02	1.5	36	102	102	200	1.710	2.137	1.044	3.201	1.350
G	0.01	0.83	20	102	102	200	1.690	2.153	1.045	3.192	1.156
H	0.01	1.3	20	74	74	200	1.700	2.153	1.070	3.171	1.200
I	0.02	1.05	27	102	102	200	1.710	2.152	1.040	3.186	1.237
J	0.01	0.5	20	160	130	200	1.636	2.201	1.025	3.160	1.270
K	0.01	1.14	20	84	102	200	1.693	2.151	1.058	3.175	1.152
L	0.01	1.43	25	88	102	200	1.680	2.152	1.058	3.168	1.160

بالا بردن فشار در آن سمت و در نتیجه ایجاد یک نیروی برا به سمت پایین می شود. همراه با جدا شدن آخرین گردابه سرعت جریان در حال کم شدن است. تاثیر استوانه روی گردابه آزاد شده باعث ایجاد سرعتی می شود که می خواهد گردابه را به سمت زاویه ۹۰ درجه بکشاند و تاثیر جریان می خواهد آن را دور کند. به هر حال جمع این دو باعث می شود که گردابه تا پایان نیم سیکل نتواند از استوانه دور شود. با توجه به بحث قبلی گردابه نمی تواند بیش از دو برابر قطر از مرکز استوانه دور شود. با تغییر جهت جریان و شروع نیم سیکل بعدی، چون گردابه هنوز به استوانه نزدیک است تاثیر حضور استوانه سرعت القایی روی گردابه را باعث شده و آن را به سمت زاویه ۹۰ درجه می کشاند. از طرف دیگر جهت حرکت جریان اصلی نیز با این حرکت همسوست و مجموع این دو باعث حرکت گردابه به سمت استوانه می شود. این حرکت از یک طرف و همسویی جهت جریان و سرعت القایی گردابه روی سطح استوانه باعث می شود سرعت در نیمه بالایی استوانه، بر خلاف موقعی که در نیم سیکل قبل گردابه جدا می شد، بیشتر از نیمه پایینی شود و لذا نیروی برایی به سمت بالا بر استوانه وارد می شود. با حرکت گردابه به سمت استوانه، این نیرو زیاد شده و دوباره، با افزایش سرعت جریان و کم رنگ شدن اثر سرعت القایی گردابه از یک طرف و از طرف دیگر شکل گیری گردابه جدید که اثر

$$\frac{L}{d} = \frac{0.81}{2St} \approx \frac{0.4}{St} \quad (11)$$

در رابطه با جریان نوسانی اگر فرض کنیم بتوانیم از همین روابط استفاده کرده اما به جای سرعت در روابط جریان یکنواخت، متوسط سرعت در یک نیم سیکل ($U = \bar{U} = \frac{2}{\pi} U_m$) را جایگزین کنیم، خواهیم داشت

$$\frac{u}{U_m} = \frac{1.6}{\pi} \quad (12)$$

از معادله $L=uT/2$ نتیجه می شود

$$L/d = \frac{0.8}{\pi} \left(\frac{U_m T}{d} \right) = \frac{0.8}{\pi} KC \quad (13)$$

در جریان یکنواخت معادل، مسافت طی شده گردابه از معادله (۱۱) به دست می آید. با جایگزینی در معادله (۱۳) نتیجه میشود

$$KC = \frac{\pi}{2St} \quad (14)$$

در محدوده جریانهای مورد بحث عدد استروهل جریان به استناد مقاله بیرمن $St=0.2$ باشد. با جایگزینی در معادله بالا به همان نتیجه بیرمن [۷] می رسیم. یعنی با افزایش عدد KC به میزان $\frac{\pi}{0.4} \approx 8$ یک جفت گردابه اضافی در هر سیکل از استوانه جدا می شود. با جایگزینی مقدار KC در معادله (۱۴) نتیجه می شود که مسافت متوسطی که گردابه طی می کند در حدود $2d$ است. اگر فرض کنیم آخرین گردابه ای که در نیم سیکل ریزش می شود در بالای استوانه ریزش شده باشد باعث

آرام نوسانی دو بعدی حول یک استوانه در یک شبکه نوع O منطبق بر بدنه و از نوع هم مکان حل شده است. با شبیه سازی عددی جریان سیال و محاسبه ضرایب نیروی طولی و عرضی وارد بر استوانه و مقایسه با نتایج تجربی و عددی کارهای انجام شده، کارامدی مدل دو بعدی به کار گرفته شده در تحلیل سینماتیک و دینامیک چنین جریانهای آرامی که عموماً سه بعدی اند نشان داده شده است

آن قویتر است، کم می شود. نتیجه به صورت یک قله اضافی در منحنی نیروی برا ظاهر می شود و باعث می شود تعداد قله های منحنی برا در هر نیم سیکل مساوی یک به علاوه تعداد گردابه های ریزش شده در آن نیم سیکل شود.

۴- جمع بندی

در این مقاله با استفاده از روش حجم محدود و به کمک الگوریتم سیمپل سی معادله های نویر استوکس برای جریان

واژه نامه

- | | | |
|---------------|-----------------|--------------------|
| 1. attached | 5. third vortex | 9. body fitted |
| 2. asymmetric | 6. Smagorinsky | 10. collocated |
| 3. transverse | 7. convective | 11. QUICK |
| 4. diagonal | 8. SIMPLEC | 12. Crank Nicolson |

مراجع

- Morison, D. J., O'Brien, M. P., Johnson, J. W. & Schaf, S. A. "The force exerted by surface wave on piles," *Petrol. Trans.* Vol.189, pp.149-157,1950.
- Stokes, G. G. "On the effect of the internal friction of fluids on the motion of pendulums," *Trans. Ccamb. Phil. Soc.*, Vol. 9, pp. 8-106, 1851.
- Wang, C.-Y. "On high-frequency oscillating viscous flows," *J. Fluid Mech*, Vol. 32, pp. 55-68, 1968.
- Kulegan, G. H. & Carpenter, L. H. "Forces on cylinders and plates in an oscillating fluid," *J. Res. Nat. Bur. Standards*, Vol. 60, pp. 423-440, 1958.
- Honji, H. "Streaked flow around an oscillating circular cylinder," *J. fluid Mech.* Vol. 107, 509-520, 1981.
- Obasaju, E. D., Bearman, P. W. & Graham, M. R. "A study of forces, circulation and vortex patterns around a circular cylinder in oscillating flow," *J. Fluid Mech*, Vol. 196, pp. 467-494, 1988.
- Tatsuno, M. & Bearman, P. W. "A visual study of the flow around an oscillating circular cylinder at low Keulegan-Carpenter numbers and low stokes numbers," *J. Fluid Mech*, Vol. 211, pp. 157-182, 1990.
- Sarpkaya, T. "Force on a circular cylinder in viscous oscillatory flow at low Keulegan-Carpenter numbers," *J. Fluid Mech*, Vol. 165, pp. 61-71, 1986.
- Williamson, C.H.K. "Sinusoidal low relative to circular cylinders," *J. Fluid Mech.* Vol. 155, pp.141-174, 1985.
- Justesen, P. "A numerical study of oscillating flow around a circular cylinder," *J. fluid mech.* Vol. 222, pp. 157-196, 1991.
- Badr, H. M., Denis, S. C. R., Kocabiyik, S. & Nguyen, P. "Viscous oscillatory flow about a circular cylinder at small to moderate Strouhal number," *J. fluid Mech.* Vol. 303, pp.215-232, 1995.
- Zhang, J. & Dalton, C. "The onset of a three-dimensional wake in two-dimensional oscillatory flow past a circular cylinder," *Proceedings of the Sixth Asian Congress of Fluid Mechanics, Singapore*, 1508-1511, 1995.
- Lu, X., Dalton, C. & Zhang, J. "Application of large eddy simulation to an oscillating flow past a circular cylinder," *Journal of Fluid Engng*, Vol. 119, pp. 519-525, 1997.
- Dutsch, H., Durst, F., Becker, S. & Lienhart, H. "Low Reynolds number flow around and oscillating circular cylinder at low Keulegan-Carpenter numbers," *J. Fluid Mech.* Vol. 360, pp. 249-271, 1998.
- Hall, P. "On the stability of unsteady boundary layer on a cylinder oscillating transversely in a viscous fluid," *J. Fluid Mech.* Vol. 146, pp. 347-367, 1984.
- Badri, Molki, Saidi, "Numerical solution of laminar low Reynolds number over a circular cylinder", *Proceedings of the Third Conference of Fluid Dynamics*, Tehran, Iran, Jan 1994.
- Orlanski, I., "A simple boundary condition for unbounded hyperbolic flows," *J. Comp. Physics*, Vol.21, pp.251-269, 1976